



**Владимир**

**Тетельмин**

Институт экологии

РУДН им. Патриса Лумумбы

Главный специалист, д.т.н.

**Алгоритм прогноза опасных природных  
стихийных бедствий**

## КЛИМАТИЧЕСКАЯ ДОКТРИНА РФ

В Ст. 7 КД отмечается, что глобальное изменение климата - один из самых серьезных вызовов 21 века, представляющий собой комплексную проблему, охватывающую все аспекты устойчивого развития России и человеческой цивилизации



**ГИК влияет на  
естественные и  
преобразованные  
человеком  
экосистемы**

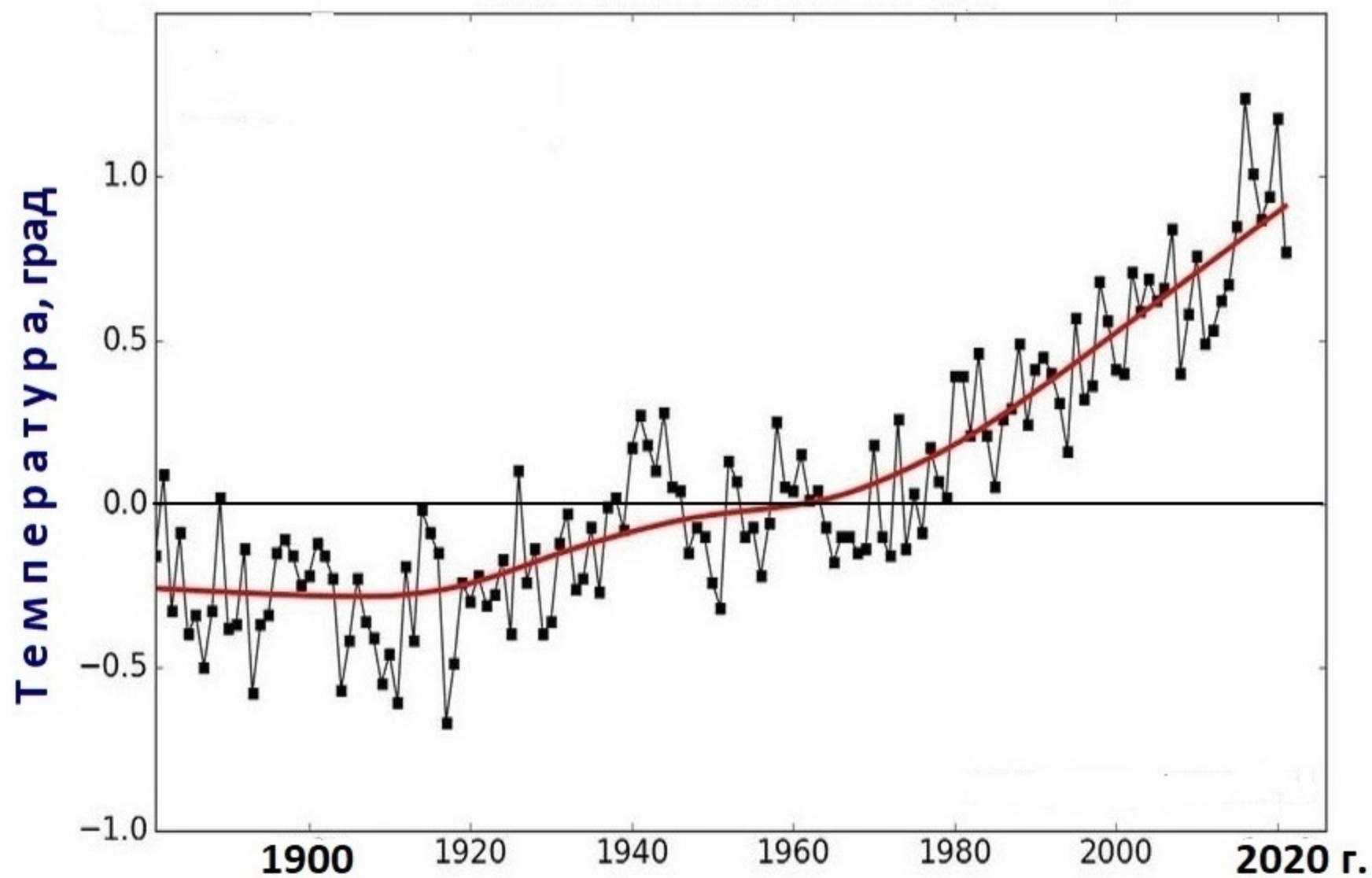
**На Земле происходят беспрецедентные по скорости  
и глобальному охвату климатические изменения.  
Человечество в поиске новой "парадигмы бытия".**



**"Ростовщики  
и невежды  
сожгут леса,  
закоптят небо  
и закроют Солнце  
от всего живого"**

**Антропогенные выбросы основных ПГ:**

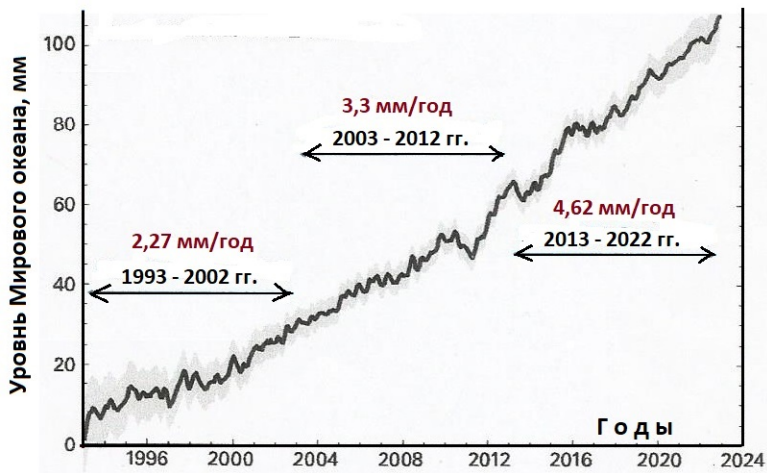
**CO<sub>2</sub> 40 Гт/год; CH<sub>4</sub> 330 Мт/год; N<sub>2</sub>O 8,2 Мт/год**



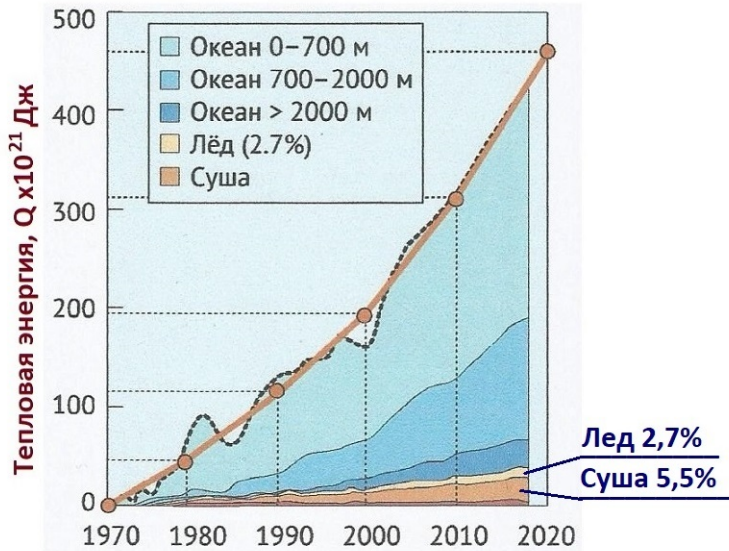
**С 1910 по 2020 гг.  
глобальное  
потепление  
составило 1,2°С**

**Внутренние  
естественные факторы  
искажают монотонность  
роста земной  
температуры,  
но в масштабах столетия  
она растет**

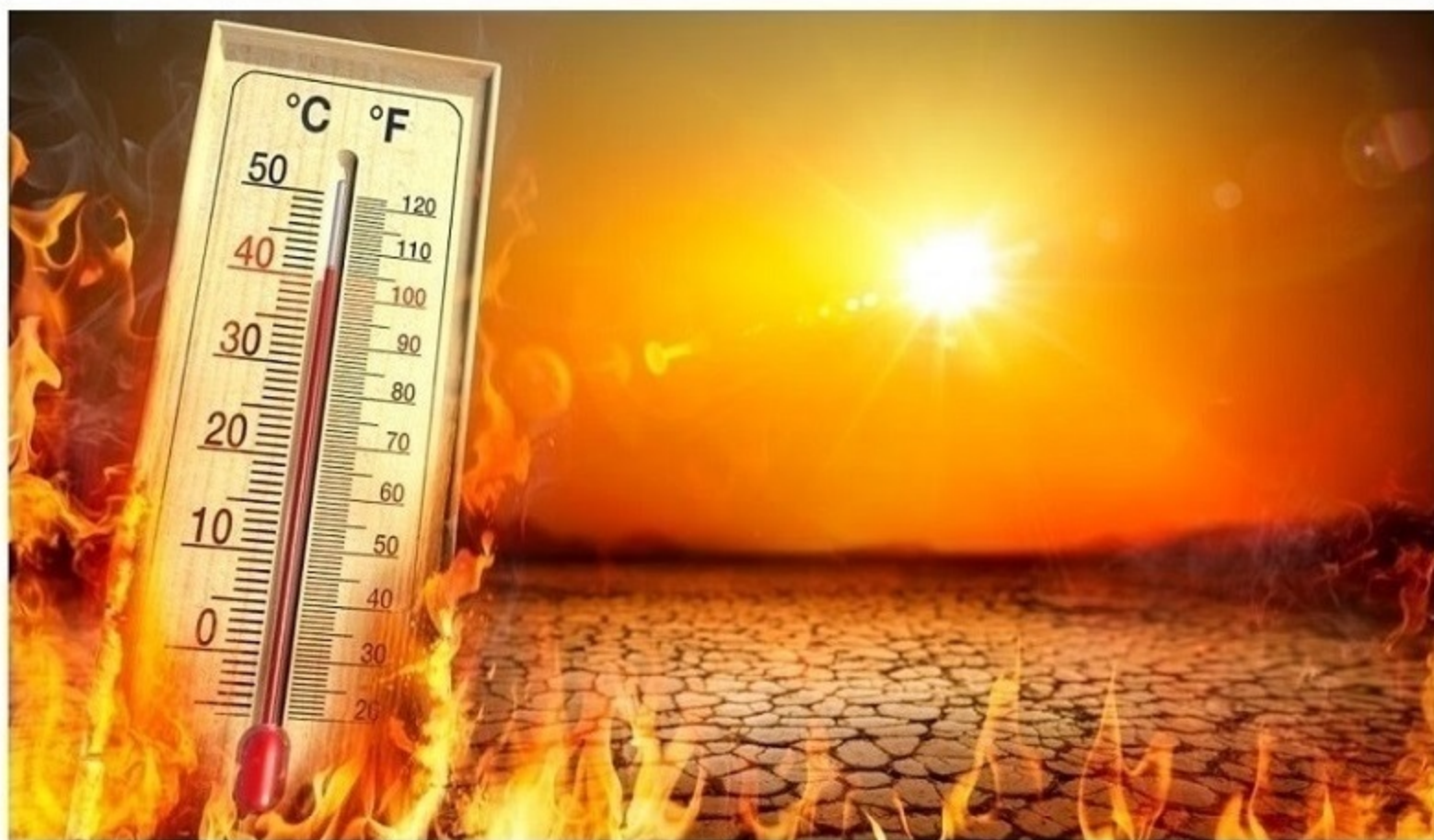
**Рост средней глобальной приземной температуры атмосферы  
с начала XX века**



**Ускоряющийся рост уровня Мирового океана за счет теплового расширения воды и таяния материковых льдов**



**Накопленная тепловая энергия КС Земли  
 и её составляющими в период с 1970 по 2020 гг.  
 составляет  $460 \cdot 10^{21}$  Дж =  $130 \cdot 10^{15}$  кВт·ч**



**Впервые в климатологии предложен алгоритм аналитического расчета глобального потепления и его последствий с помощью ряда эмпирических функций, в которых в качестве независимой переменной используется концентрация антропогенных ПГ в атмосфере**

Максимальная температура глобального потепления как функция концентрации  $K$  антропогенных парниковых газов в атмосфере

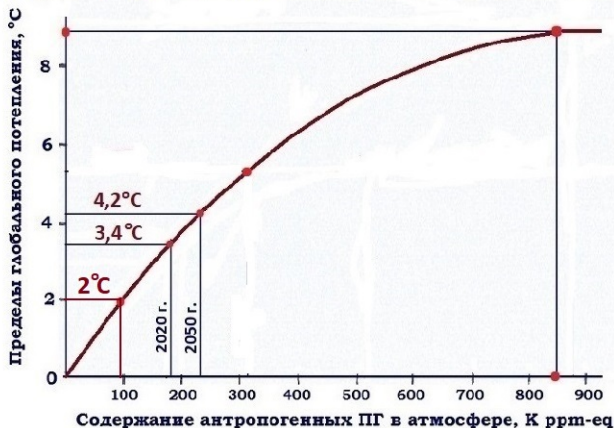
$$T_{\max} = 20,9 \cdot 10^{-3} \cdot K - 12,3 \cdot 10^{-6} \cdot K^2, \text{ } ^\circ\text{C}$$

Потенциал радиационного усиления (парниковый эффект) как функция концентрации антропогенных парниковых газов в атмосфере

$$J_{\max} = (7,7 \cdot 10^{-2} \cdot K + 5,4) \text{ Вт/м}^2$$

$$(200 \text{ ppm-eq} < K < 350 \text{ ppm-eq})$$

## При $K = 850$ ppm-eq происходит "парниковое насыщение" атмосферы



Современное содержание в атмосфере АПГ гарантированно нагреет Землю примерно на  $3,4^{\circ}\text{C}$

Каждому содержанию АПГ в атмосфере соответствует своя максимальная температура глобального потепления  $T_{\max}$ .

Намеченная ПС цель по удержанию глобальной температуры ниже  $+2^{\circ}\text{C}$  по сравнению с доиндустриальным периодом не может быть обеспечена ни практически, ни теоретически.

Интенсивность поглощения тепловой энергии парникового эффекта всей земной поверхностью:

$$(90 \text{ ppm-eq} < K < 320 \text{ ppm-eq})$$

$$Q_0 = 276 \cdot 10^{12} \cdot (K - 30), \text{ кВт}\cdot\text{ч}/10 \text{ лет}$$

---

$$i_0 = 22,2 \cdot 10^{-18} \cdot Q_0, \text{ Вт}/\text{м}^2$$

---

Нетто-поглощение тепловой энергии парникового эффекта единицей площади земной поверхности

Продолжительность глобального потепления до достижения радиационно-равновесного состояния

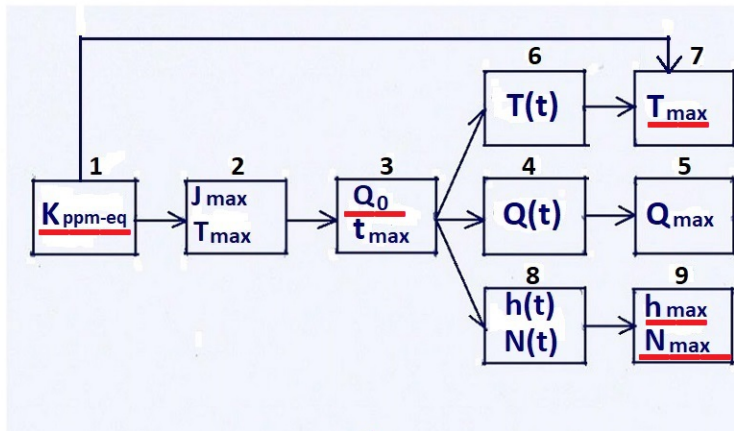
$$t_{\max} = 10^2 \cdot (T_{\max} - T_0) mc / 0,5n \cdot Q_0$$

---

Динамика накопления парниковой тепловой энергии КС Земли:

$$\Sigma Q_{\text{КС}} = Q_0 \cdot (2t_{\max} - t) \cdot t / 2t_{\max}$$

---



**Блок-схема расчета глобального потепления и его последствий**

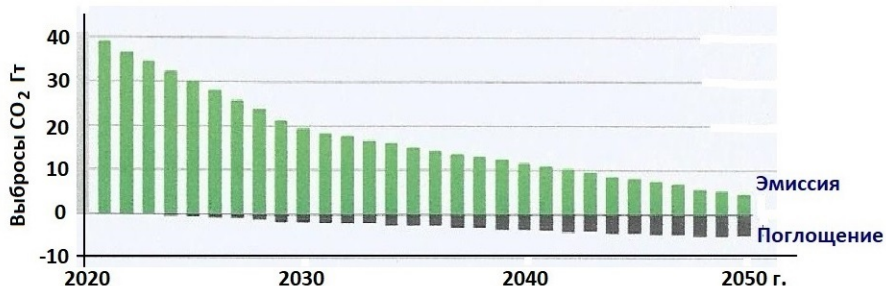


**Интенсивность поступления солнечной энергии на внешнюю границу атмосферы  $S = 1368 \text{ Вт/м}^2$**

**Увеличение концентрации антропогенных ПГ в атмосфере на 1 ppm-eq:**

**- увеличивает мощность парникового эффекта на 0,1 Вт/м<sup>2</sup>;**

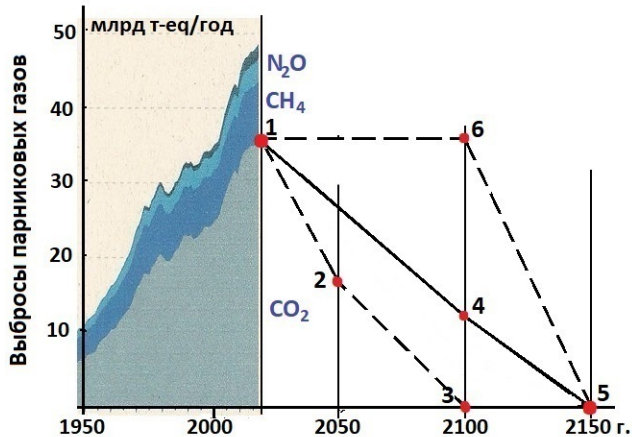
**- увеличивает максимальную температуру глобального потепления на 0,015°C, что по притоку тепла эквивалентно приближению Земли к Солнцу на 11 тыс. км**



Динамика снижения выбросов в атмосферу CO<sub>2</sub>, необходимая для достижения "чистого нулевого уровня выбросов".

Рекомендуемые ПС снижение к 2050 г. выбросов ПГ в два раза, а также достижение углеродной нейтральности производственной деятельности являются нереальными.

При существующих технологиях человечество не сможет добиться углеродной нейтральности как минимум до 2100 г.



Умеренный сценарий:

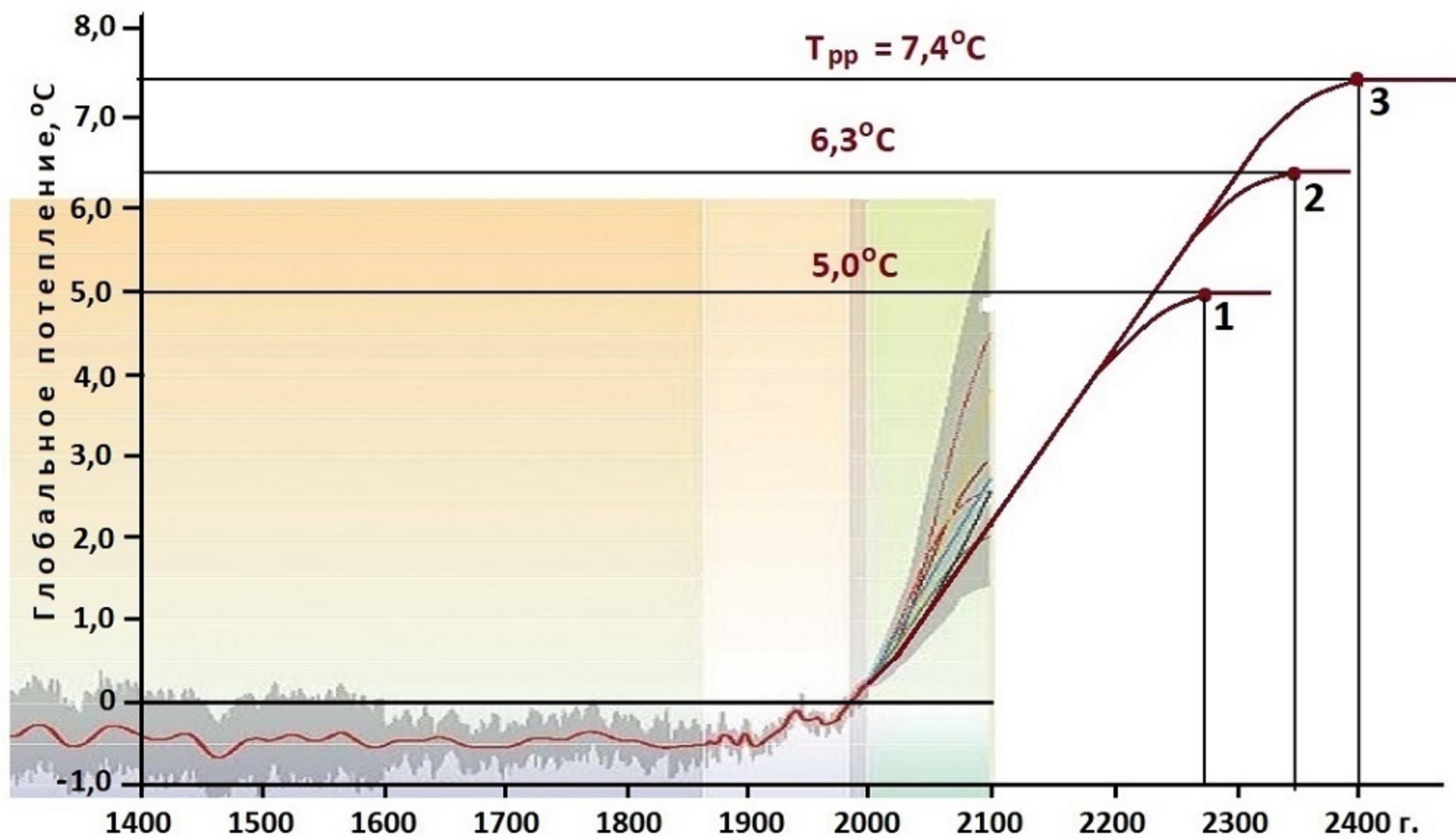
Снизить к 2100 г. выбросы CO за счет снижения использования угля и нефти с 35 до 12 Гт/год. Выпадающее производство энергии составит  $86 \cdot 10^{12}$  кВт·ч/год. Такое количество с помощью ВИЭ + АЭС можно будет заместить.

Три возможных сценария снижения выбросов парниковых газов:

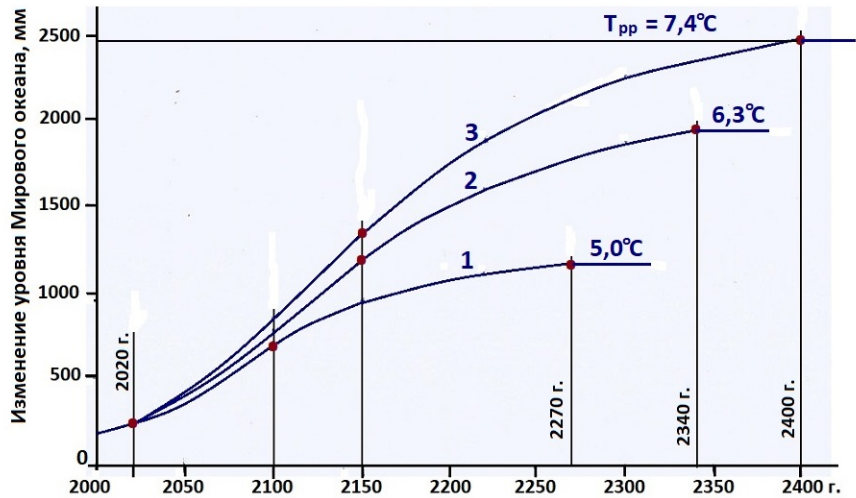
- интенсивный (1-2-3), рекомендуемый Парижским Соглашением наиболее травмирующий мировую экономику  $K = 290$  ppm-экв;

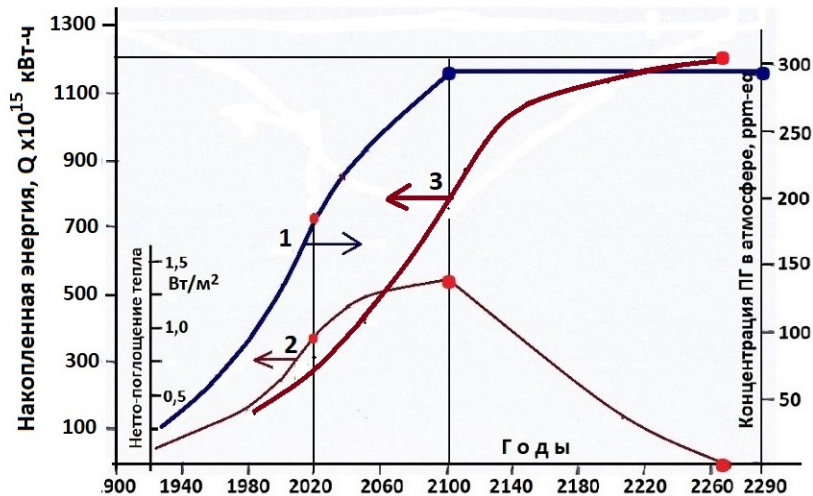
- умеренный (1-4-5) наиболее приемлемый  $K = 390$  ppm-экв;

- консервативный, наиболее травмирующий климат  $K = 490$  ppm-экв



Остановить глобальное потепление при современных технологиях  
невозможно.

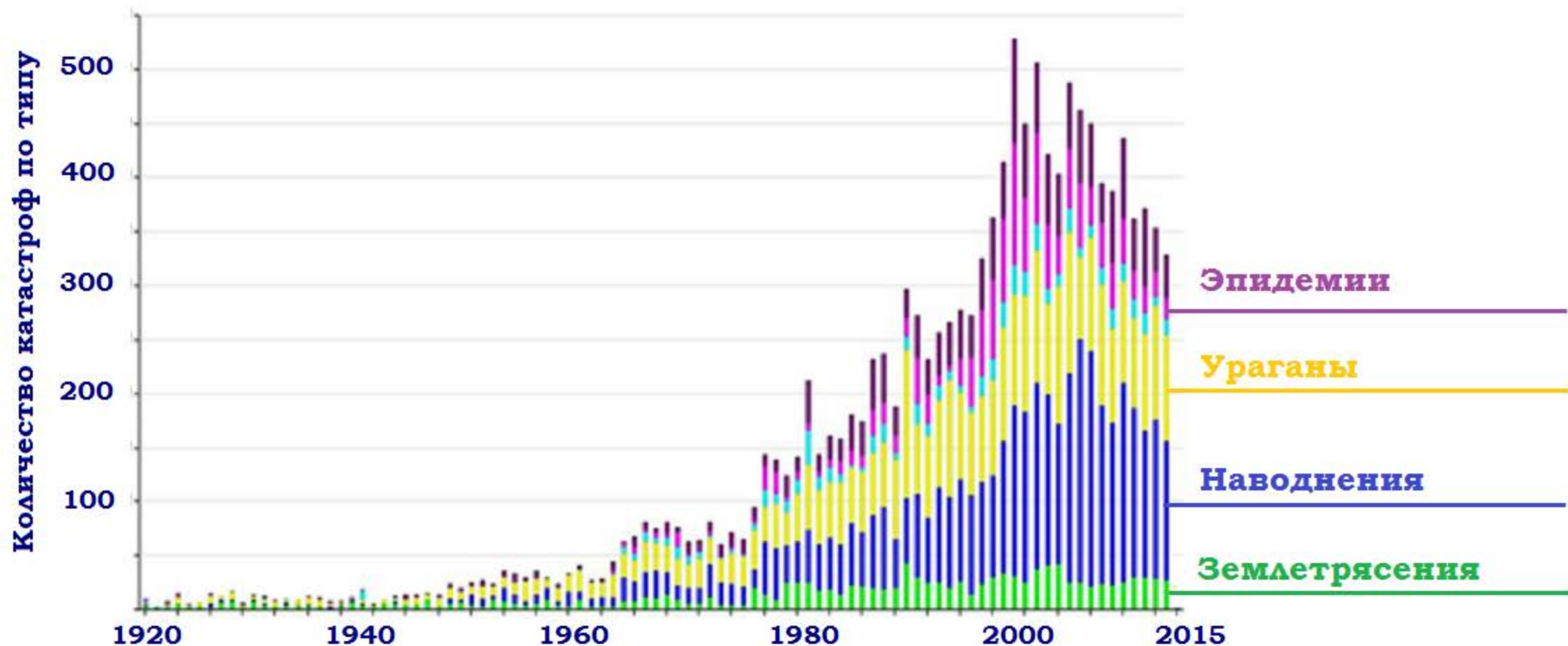




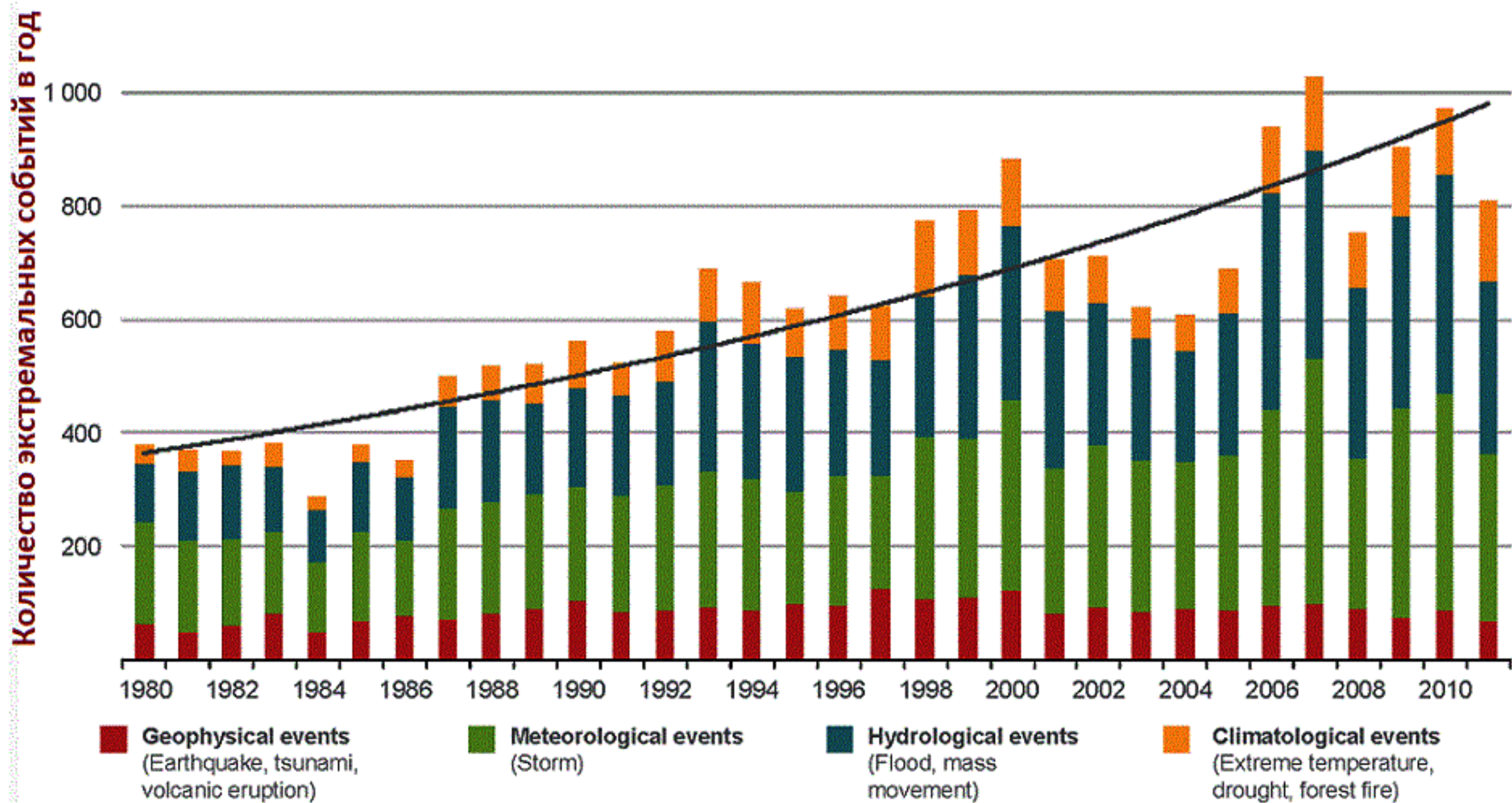
Значение  $1,4 \text{ Вт/м}^2$  совпадает с "потокм тепла" в версии климатической модели ИВМ РАН INMCM5, которая дает разброс в пределах  $1,2\text{-}1,6 \text{ Вт/м}^2$

Графики изменения во времени при интенсивном сценарии декарбонизации:

- 1 - концентрации антропогенных ПГ в атмосфере;
- 2 - нетто-поглощения тепловой энергии;
- 3 - накопленной КС Земли тепловой энергии



**Рост природных катастрофических событий в мире, обусловленный глобальным потеплением**



## Рост отмеченных страховыми компаниями частоты природных катастрофических событий в мире, спровоцированных глобальным потеплением

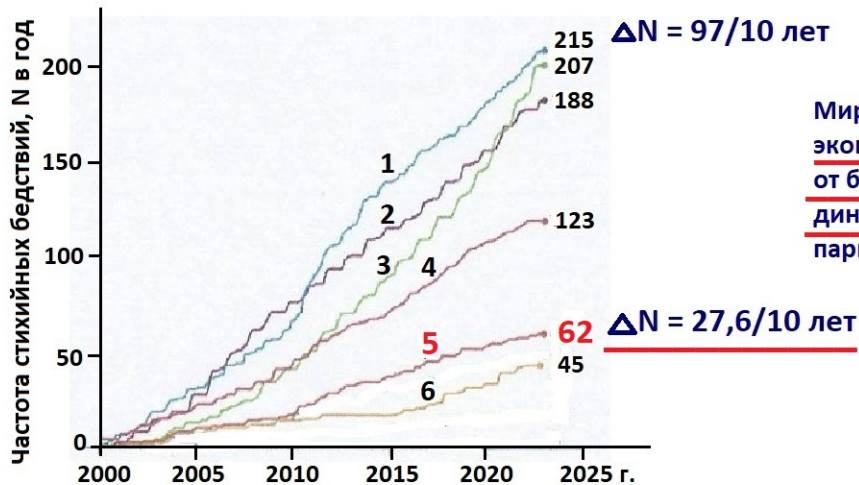
При этом опережающим образом растет частота наиболее сильных ПСБ. Например, в России в 2023 г. по сравнению с 2022 г. общая частота ОКА увеличилась на 22% (с 946 до 1190 случаев), а число ОКА с ущербом увеличилось на 34% (с 334 до 448 случаев)



Кривая роста количества землетрясений в мире ( $M > 2$ ) по данным USGS, спровоцированных глобальным потеплением:

1 - рост средней приземной температуры;

2 - землетрясения  $M > 2$ .

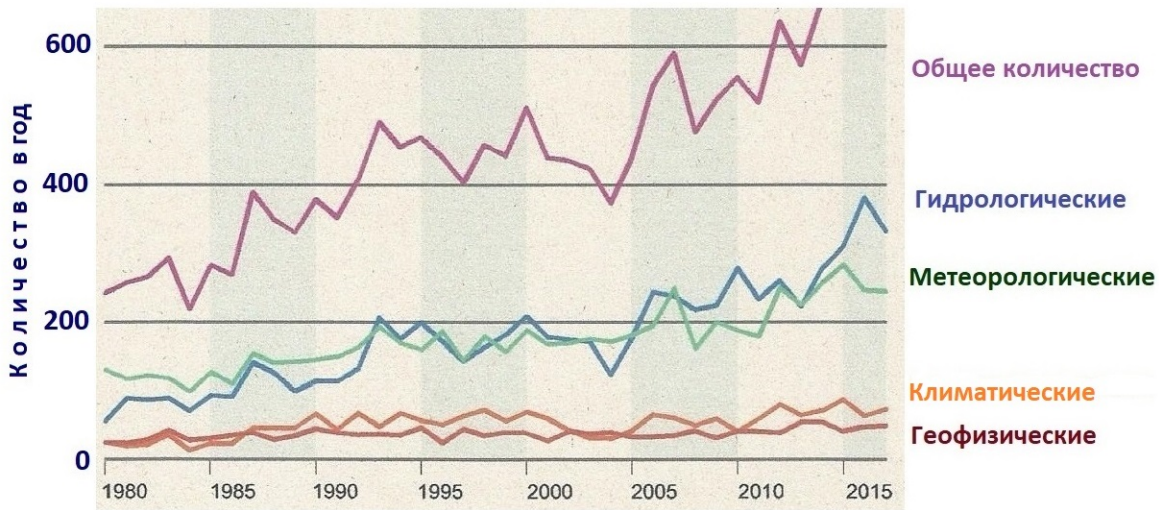


Мировой экономический ущерб от бедствий опережает динамику выбросов парниковых газов

Стихийные бедствия с экономическим ущербом более 1 млрд долл.:

- 1 - наводнения; 2 - тропические циклоны; 3 - ураганы, торнадо;  
 4 - засухи; 5 - землетрясения; 6 - лесные пожары

Christopher Callahan and Justin S. Mankin (2023)



**Рост частоты отмеченных страховыми компаниями катастрофических природных стихийных бедствий, спровоцированных глобальным потеплением**

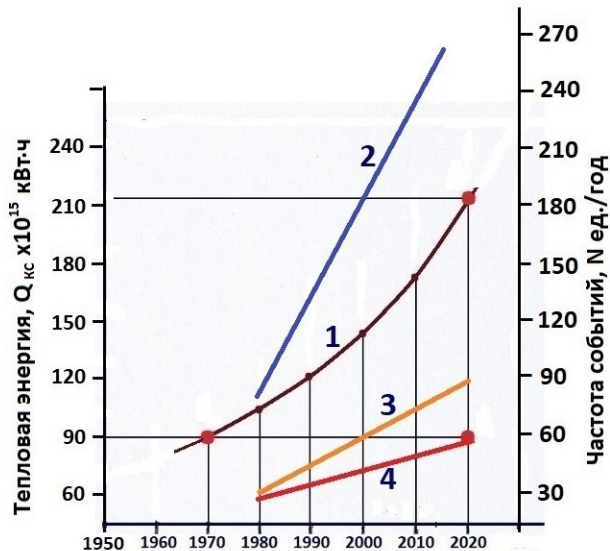
(<https://www.munichre.com/en/risks/natural-disasters-losses-are-trending-upwards.html>)

Для количественной оценки изменения во времени  $N(t)$  удобно использовать уравнение линейной регрессии:

$$N = (a + b \cdot t)$$

Процессы	$a/\text{год}$	$b$ (год) <sup>-2</sup>	$dN/dt$ (10 лет) <sup>-1</sup>	$E_0$ $\times 10^{15}$ кВт.ч/ед.	$\frac{N \text{ ед/год}}{\text{в 2050 г.}}$ $\frac{N}{N_{\text{max}}}$
Геофизические бедствия	26	0,75	7,5	5,0	76/90
Метеорологические бедствия	107	4,35	43	0,89	400/460
Гидрологические бедствия	80	6,1	61	0,63	490/610
Климатические бедствия	26	1,5	15	2,56	120/150

Оценки и прогноз на основе линейной регрессии частоты повторяемости природных стихийных бедствий для умеренного сценария декарбонизации



Важная особенность:  
на формирование  
каждого  
последующего события  
расходуется больше  
тепловой энергии,  
чем на формирование  
предыдущего  
события

$$\underline{E = \Delta Q / \Delta N \text{ (кВт-ч/ед)}}$$

График роста накопленной КС Земли тепловой энергии 1  
и графики роста частоты повторяемости отмеченных природных  
стихийных бедствий, описываемых уравнением линейной  
регрессии: 2 - метеорологические; 3 - климатические;  
4 - геофизические.

Удельная тепловая энергия, необходимая для формирования природного бедствия:

$$E_i = \Delta Q_i / \Delta N_i \text{ (кВт}\cdot\text{ч/ед.)}$$

В каждом последующем 10-летнем периоде на формирование одного природного стихийного бедствия расходуется в 1,25 раз больше тепловой энергии, чем в предыдущем периоде:

$$E_{i+1} = 1,25 \cdot E_i$$

Эта особенность позволяет определять методом экстраполяции приращение частоты повторяемости природных стихийных бедствий в каждом последующем временном периоде:

$$\Delta N_{(i+1)} = \Delta Q_{(i+1)} / 1,25 \cdot E_i \text{ (ед/год)/10 лет}$$

Особенность ограниченности роста частоты N (равно как и удельной энергии E) экстремально сильных ураганов и больших землетрясений обусловлена ограниченностью размеров Земли и ограниченностью поступающей к Земле внешней энергии.

Частота и энергия ПСБ не могут увеличиваться бесконечно и имеют некоторый предел  $N_{\max}$ .

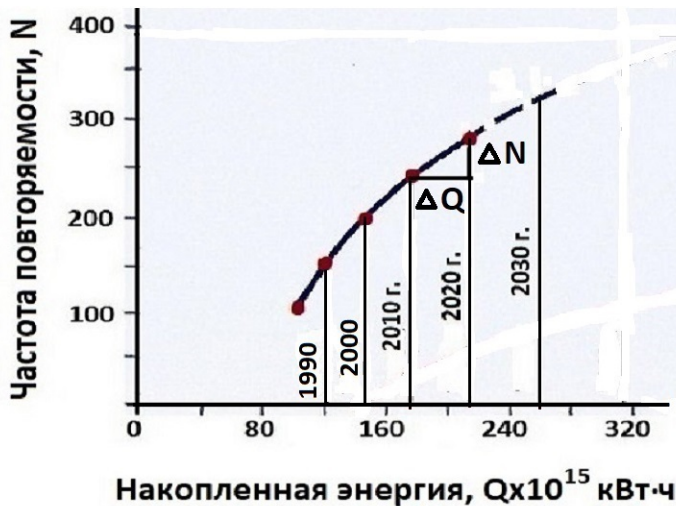
Примем следующее условие достижения предельного значения  $N_{\max}$ :

$$\underline{\Delta N_n / \sum \Delta N_n \leq 0,05}$$

Частота повторяемости ПСБ достигает предельного значения, когда начинает получать приращение  $\Delta N$  около 5%

**Рост средних значений частоты проявления отмеченных природных стихийных бедствий, вызванных глобальным потеплением, а также расчетной предельной частоты их проявления в будущем**

<b>Процессы</b>	<b>1980 г.</b>	<b>1995 г.</b>	<b>2015 г.</b>	<b><u>2050 г.</u></b>
<b>Геофизические бедствия</b>	<b>26</b>	<b>42</b>	<b>54</b>	<b>76</b>
<b>Метеорологические бедствия</b>	<b>107</b>	<b>175</b>	<b>258</b>	<b>400</b>
<b>Гидрологические бедствия</b>	<b>80</b>	<b>175</b>	<b>290</b>	<b>490</b>
<b>Климатические бедствия</b>	<b>26</b>	<b>48</b>	<b>79</b>	<b>120</b>



$$\underline{\underline{\Delta N / \Delta Q \Rightarrow 0}}$$

Частота проявления ПСБ  
стремится к некоторому  
пределу  $N_{\max}$

По мере глобального потепления рост частоты природных стихийных бедствий (ПСБ) замедляется. Тангенс угла наклона касательной к графику функции  $N(Q)$  уменьшается в каждом последующем 10-летнем периоде на постоянную величину 0,8.

График функции  $N(Q)$  все более выполаживается.

По мере потепления рост частоты ПСБ замедляется:  $N \rightarrow N_{\max}$



Рост частоты повторяемости природных стихийных бедствий:

1 - метеорологических;

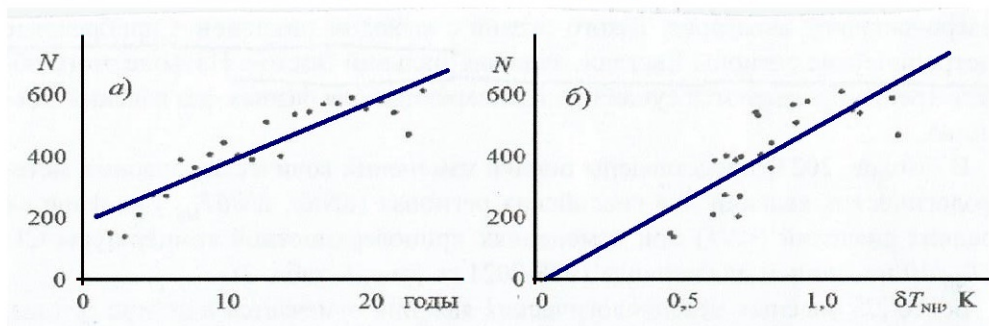
2 - землетрясений с ущербом более 1 млрд долл.

Процессы	$E_0 \times 10^{15}$ кВт-ч/ед 2020 г.	$E_{\max} \times 10^{15}$ кВт-ч/ед 2080-90 гг.	$tg_0$ $\times 10^{-15}$ ед/кВт-ч	$tg_{\max}$ $\times 10^{-15}$ ед/кВт-ч	$N_{\max}$ ед/год 2080-90 гг.
Геофизические бедствия	<b>5,0</b>	<b><u>20</u></b>	<b>0,2</b>	<b>0,05</b>	<b>90</b>
Метеорологические бедствия	<b>0,9</b>	<b><u>3,5</u></b>	<b>1,1</b>	<b>0,3</b>	<b>470</b>
Гидрологические бедствия	<b>0,6</b>	<b><u>2,7</u></b>	<b>1,7</b>	<b>0,4</b>	<b>610</b>
Климатические бедствия	<b>2,6</b>	<b><u>10</u></b>	<b>0,4</b>	<b>0,1</b>	<b>150</b>

Оценки и прогноз на основе линейной регрессии частоты повторяемости природных стихийных бедствий для умеренного сценария декарбонизации

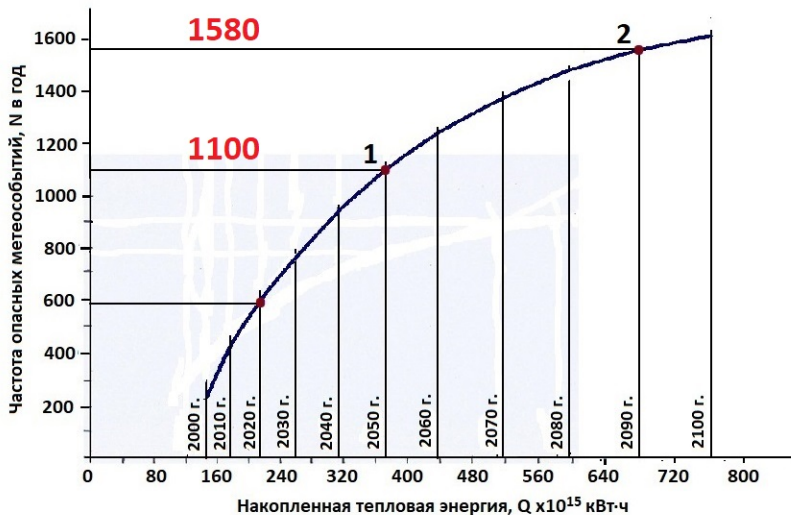
**Для формирования одного землетрясения требуется большее количество накопленной тепловой энергии, чем для других ПСБ**

**Рост количества опасных метеорологических явлений в России.**  
**Прямые соответствуют линейным регрессиям.**



**И.И. Мохов: "В российских регионах растет повторяемость и интенсивность различных опасных конвективных погодно-климатических явлений с темпом на 21 событие в год".**

**При этом растет частота наиболее сильных явлений. Отмечен рост повторяемости перехода тропических циклонов во внетропические с выходом циклонов в прибрежные регионы Евразии и Дальнего Востока.**



**Расчетный график роста частоты опасных метеорологических явлений (ОМЯ) в России при умеренном сценарии декарбонизации энергетики.**

В качестве начального условия использовалась скорость увеличения частоты повторяемости ОМЯ в соответствии с линейной регрессией на постоянную величину 189 (ед/год) за 10 лет (И.И. Мохов. Журнал МиГ. 2023. №11)



## Трамп выводит США из Парижского Соглашения

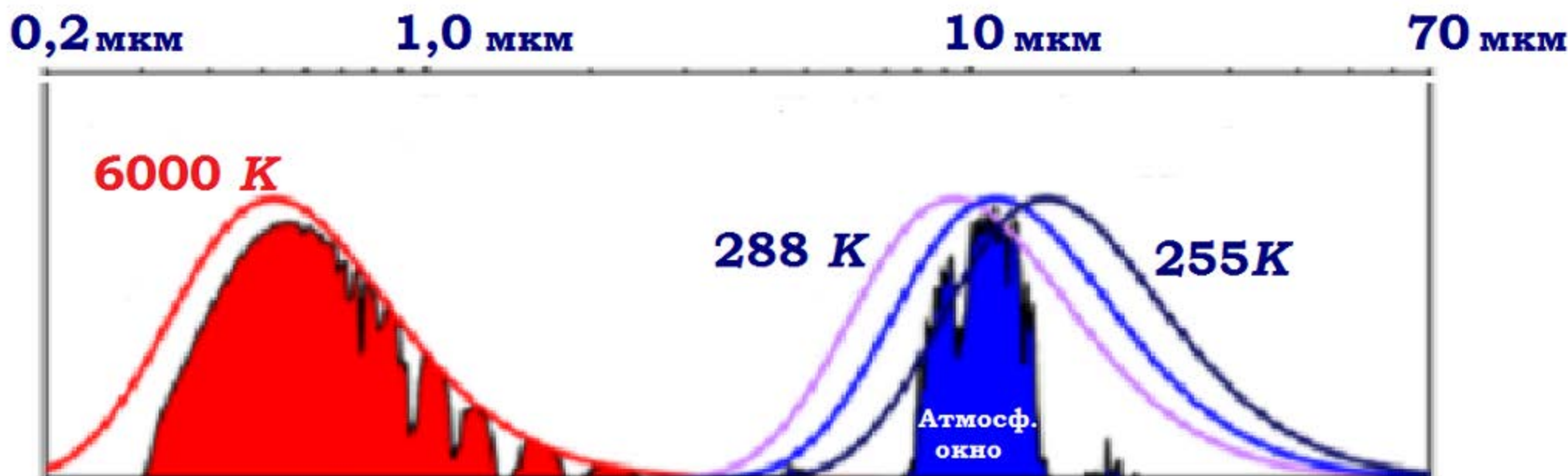
При современных технологиях и объемах производства  
глобальной энергии остановить процесс глобального  
потепления невозможно!

Глобальное потепление будет развиваться по  
восходящей траектории, конечная температура  
которой будет зависеть от принятого сценария  
декарбонизации.

В лучшем случае при реализации интенсивного  
сценария потепление будет продолжаться до 2250 г.  
до увеличения глобальной температуры до 5°C  
с соответствующим увеличением частоты и силы  
тропических циклонов, ураганов, наводнений, засух  
и землетрясений.

К 2100 г. параметры климатического будущего будут примерно следующими:

- глобальная температура увеличится до 2,6 С;
- уровень Мирового океана поднимется до 750 мм;
- частота повторяемости МСБ достигнет 470 в год;
- частота гидрологических СБ достигнет 610 в год;
- частота климатических СБ достигнет 150 в год;
- частота геофизических СБ достигнет 90 в год.



**Предлагаемый алгоритм расчета позволяет прогнозировать темп глобального потепления и роста его последствий для любого сценария декарбонизации мировой экономики.**

**Спасибо за внимание!**